

6. 分子動力学シミュレーション

6-1. アンサンブル平均と長時間平均.

$$\langle A \rangle = \frac{\int dp^N dq^N A(q^N, p^N) P(q^N, p^N)}{\int dp^N dq^N P(q^N, p^N)}$$

$$\langle A \rangle_t = \lim_{\tau \rightarrow \infty} \frac{1}{\tau} \int_0^\tau dt A(q^N(t), p^N(t))$$

($q^N(t), p^N(t)$ は運動方程式の解と見做される)

適切な 分布関数 と 運動方程式 を選ぶ。

$$\langle A \rangle = \langle A \rangle_t$$

- 例えば:
- ① P_{NVE} (ミクロカノニカル分布関数) と Newton の運動方程式 (エネルギー一定)
 - ② P_{NVT} (カノニカル分布関数) と Nose-Hoover 等温度計付の運動方程式.
 - ③ P_{NPT} と 等温度計, 圧力計付の運動方程式.

⋮

6-2. 運動方程式 (ミクロカニカル: E-定)

質量 m の同種粒子 N 個からなる系を考える。

$$\frac{d^2 r_i}{dt^2} = \frac{F_i}{m}$$

F_i : まわりの粒子から粒子 i が
受ける力 ~~XXXXXXXXXX~~

$$(i = 1, 2, \dots, N)$$

粒子間の相互作用が "ポテンシャル" $\phi(r)$ である場合

$$F_i = - \frac{\partial U(r_1, \dots, r_N)}{\partial r_i}$$

$$= - \sum_{\substack{j=1 \\ j \neq i}}^N \frac{\partial}{\partial r_i} \phi(r_{ij}) = \sum_{\substack{j=1 \\ j \neq i}}^N f_{ij}$$

$$\left(\frac{\partial}{\partial r_i} = e_x \frac{\partial}{\partial x_i} + e_y \frac{\partial}{\partial y_i} + e_z \frac{\partial}{\partial z_i} \right)$$

$$r_{ij} = |r_i - r_j| = \sqrt{(x_i - x_j)^2 + (y_i - y_j)^2 + (z_i - z_j)^2}$$

$$f_{ij} = \frac{\partial r_{ij}}{\partial x_i} = \frac{x_i - x_j}{r_{ij}}$$

$$\therefore f_{ij} = - \frac{\partial}{\partial r_i} \phi(r_{ij})$$

$$= - \frac{\partial}{\partial r_{ij}} \phi(r_{ij}) \frac{(r_i - r_j)}{r_{ij}} = - f_{ji}$$

6-2-1. Verlet (VERLET) 法.

$$\frac{d^2 r_i}{dt^2} = \frac{F_i}{m} \quad (i=1, 2, \dots, N) \quad (1)$$

$r_i(t \pm \delta t)$ を Taylor 展開.

$$r_i(t + \delta t) = r_i(t) + \delta t \left. \frac{dr_i}{dt} \right|_t + \frac{\delta t^2}{2} \frac{F_i(t)}{m} + O(\delta t^3) \quad (2)$$

$$r_i(t - \delta t) = r_i(t) - \delta t \left. \frac{dr_i}{dt} \right|_t + \frac{\delta t^2}{2} \frac{F_i(t)}{m} - O(\delta t^3) \quad (3)$$

$$(2) + (3) \quad r_i(t + \delta t) + r_i(t - \delta t) = 2r_i(t) + \delta t^2 \frac{F_i(t)}{m} + O(\delta t^4) \quad (4)$$

$$(2) - (3) \quad r_i(t + \delta t) - r_i(t - \delta t) = 2\delta t \left. \frac{dr_i}{dt} \right|_t + O(\delta t^3) \quad (5)$$

$$\therefore r_i(t + \delta t) = 2r_i(t) - r_i(t - \delta t) + \delta t^2 \frac{F_i(t)}{m} \quad (6)$$

$$\left. \frac{dr_i}{dt} \right|_t \equiv v_i(t) = \frac{1}{2\delta t} \{ r_i(t + \delta t) - r_i(t - \delta t) \} \quad (7)$$

Verlet の差分方程式. (2次の精度)

- $\delta t \rightarrow -\delta t$ の時間反転に対し、対称.
- 安定性が高いのでよく使われる.

③追加 Velocity Verlet 法.

$$\left\{ \begin{array}{l} r_i(t+dt) = r_i(t) + v_i(t)dt + \frac{F_i(t)}{2m} dt^2 \quad (12) \\ v_i(t+dt) = v_i(t) + \frac{F_i(t+dt) + F_i(t)}{2m} dt \quad (13) \end{array} \right.$$

この Velocity Verlet 法もまた Verlet 法の別表現になることを示そう。

⑫の両辺の時間を dt だけ進めると。

$$r_i(t+2dt) = r_i(t+dt) + v_i(t+dt)dt + \frac{F_i(t+dt)}{2m} dt^2 \quad (14)$$

⑬を変形すると。

$$r_i(t) = r_i(t+dt) - v_i(t)dt - \frac{F_i(t)}{2m} dt^2 \quad (15)$$

⑭+⑮より。

$$r_i(t+2dt) + r_i(t) = 2r_i(t+dt) + [v_i(t+dt) - v_i(t)]dt + \frac{dt^2}{2m} [F_i(t+dt) - F_i(t)].$$

ここで、⑬を代入すると。

$$r_i(t+2dt) + r_i(t) = 2r_i(t+dt) + \frac{dt^2}{m} F_i(t+dt)$$

両辺の時間を dt だけ戻して整理すると。

$$r_i(t+dt) = 2r_i(t) - r_i(t-dt) + \frac{dt^2}{m} F_i(t)$$

⇒ Verlet 法.

6-2-2. Leap-Frog 法.

⑧の代りに、次式で速度を与える。

$$\frac{dr_i}{dt} \Big|_{t+\frac{\delta t}{2}} = v_i(t+\frac{\delta t}{2}) = \frac{1}{\delta t} \{ r_i(t+\delta t) - r_i(t) \} \quad (9)$$

⑦より、

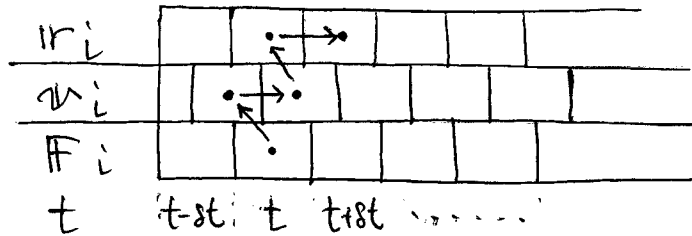
$$r_i(t+\delta t) - r_i(t) = r_i(t) - r_i(t-\delta t) + \delta t^2 \frac{F_i(t)}{m}$$

$$v_i(t+\frac{\delta t}{2}) = v_i(t-\frac{\delta t}{2}) + \delta t \frac{F_i(t)}{m} \quad (10)$$

⑨より、

$$r_i(t+\delta t) = r_i(t) + \delta t v_i(t+\frac{\delta t}{2}) \quad (11)$$

Leap-Frog 法 (かえる跳び)



Verlet 法の別表現 → 安定

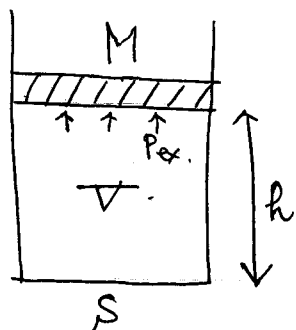
6-2-3. 'その他の方法.

- Predictor - Corrector 法.
- Runge - kutta 法.
- Symplectic 法

→ 高次の精度.
(but, 多歩遅い.)

6-3. 拡張系の運動方程式 1. (圧力一定).

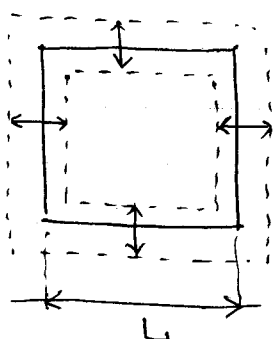
Andersen 法



左図の様な可動ピストン(重さ M)の系を考える.

$$\left\{ \begin{array}{l} \text{運動エネルギー} - \frac{M}{2} \dot{R}^2 = \frac{M}{2} \dot{V}^2 / S^2 \\ \text{ポテンシャルエネルギー} - MR = P_{ex} S h \\ \phantom{\text{ポテンシャルエネルギー}} = P_{ex} V \end{array} \right.$$

同様に、有効質量 MS^2 の可変体積系では、



$$\left\{ \begin{array}{l} \text{運動エネルギー} - \frac{M}{2} \dot{V}^2 \\ \text{ポテンシャルエネルギー} - P_{ex} V \end{array} \right.$$

V の内部に、質量 m の同種粒子 N 個があるとす。
 1辺の長さ L を規格化した粒子座標 s を導入すると。

$$r_i = L s_i \quad (i = 1, 2, \dots, N) \quad (1)$$

$$\dot{r}_i = L \dot{s}_i + L \dot{s}_i \approx L \dot{s}_i \quad (2)$$

全系のラグランジアンは、

$$\mathcal{L} = \sum_{i=1}^N \frac{m}{2} (L \dot{s}_i)^2 + \frac{M}{2} \dot{V}^2 - U(L s^N) - P_{ex} V \quad (3)$$

s_i, V に正準共役な運動量を π_i, Π とす。

$$\pi_i \equiv \frac{\partial \mathcal{L}}{\partial \dot{s}_i} = mL^2 \dot{s}_i, \quad \Pi \equiv \frac{\partial \mathcal{L}}{\partial \dot{V}} = M \dot{V} \quad (4)$$

全系のハミルトン関数を s_i, V, π_i, Π で表す.

$$\begin{aligned} \mathcal{H} &= \sum_i \frac{m}{2} \dot{r}_i^2 + U(r_i^N) + \frac{M}{2} \dot{V}^2 + P_{ex} V \\ &= \sum_i \frac{m}{2} (L \dot{s}_i)^2 + U(L s^N) + \frac{M}{2} \dot{V}^2 + P_{ex} V \\ &= \sum_i \frac{1}{2mV^{2/3}} \pi_i^2 + U(V^{1/3} s^N) + \frac{1}{2M} \Pi^2 + P_{ex} V \end{aligned} \quad (5)$$

$\{s_i, V, \pi_i, \Pi\}$ に対応し、正準運動方程式を得ることから、

$$\left\{ \begin{aligned} \frac{ds_i}{dt} &= \frac{\partial \mathcal{H}}{\partial \pi_i} = \frac{1}{mV^{2/3}} \pi_i & (6) \\ \frac{d\pi_i}{dt} &= -\frac{\partial \mathcal{H}}{\partial s_i} = -\frac{\partial U}{\partial s_i} & (7) \\ \frac{dV}{dt} &= \frac{\partial \mathcal{H}}{\partial \Pi} = \frac{\Pi}{M} & (8) \\ \frac{d\Pi}{dt} &= -\frac{\partial \mathcal{H}}{\partial V} = -\frac{\partial \mathcal{H}}{\partial L} \frac{\partial L}{\partial V} \\ &= \frac{2}{3} V^{-2/3-1} \sum_i \frac{\pi_i^2}{2m} - \frac{1}{3} V^{-2/3} \frac{\partial U}{\partial L} - P_{ex} & (9) \end{aligned} \right.$$

$\{r_i, p_i, V, \Pi\}$ に戻ると、

$$\left\{ \begin{aligned} \frac{dr_i}{dt} &= \frac{p_i}{m} + \frac{r_i}{3V} \frac{dV}{dt} & (10) \\ \frac{dp_i}{dt} &= -\frac{\partial U}{\partial r_i} - \frac{p_i}{3V} \frac{dV}{dt} & (11) \\ \frac{dV}{dt} &= \frac{\Pi}{M} & (12) \\ \frac{d\Pi}{dt} &= -P_{ex} + \frac{1}{3V} \left(\sum_i \frac{p_i^2}{m} - \sum_i r_i \cdot \frac{\partial U}{\partial r_i} \right) & (13) \end{aligned} \right.$$

$= P_{ex}$

⑫⑬をよく見ると.

$$\text{if } \begin{cases} P(t) - P_{ex} > 0 \\ P(t) - P_{ex} < 0 \end{cases} \Rightarrow \begin{cases} \nabla \text{ 増加.} \\ \nabla \text{ 減少.} \end{cases} \quad \#$$

正準方程式を解いてみる。ℋ (5式) は保存する。

$$\mathcal{H} = K + U + \underbrace{\frac{M}{2} \dot{\nabla}^2}_{\text{微小}} + P_{ex} \nabla = \text{const.}$$

$$\approx K + U + P_{ex} \nabla = \underbrace{H}_{\text{エンタルピー}} = \text{const.}$$

従って、この拡張系の運動方程式を解くことにより、

⇒ NPH - 一定のアンサンブル平均が求まる。#

6-4. 拡張系の運動方程式 2 (温度一定)

Nose 法

対象とする N 粒子系のハミルトニアン.

$$H_0(p^N, r^N) = \sum_{i=1}^N \frac{p_i^2}{2m} + U(r^N)$$

粒子の速度をスケールするパラメータ.

に熱浴と相互作用する新しい自由度 s を導入し、次の様な仮想的なハミルトニアンを考える。

$$H_{Nose}(p'^N, r'^N, p_s, s) = \sum_{i=1}^N \frac{p_i'^2}{2ms^2} + U(r'^N) + \frac{p_s^2}{2Q} + g k_B T \log s \quad (1)$$

$\{p'^N, r'^N\} \rightarrow$ 拡張系における粒子の座標 r'^N とそれに正準共役な運動量 p'^N
 $\{p_s, s\} \rightarrow$ 熱浴との相互作用を表す自由度 s とそれに正準共役な運動量 p_s
 $Q \rightarrow$ 自由度 s の有効質量.

現実系	拡張系	対応関係
r_i	r_i'	$r_i = r_i'$
p_i	p_i'	$s p_i = p_i'$
t	t'	$t = \int_0^t dt'/s$ ($s dt = dt'$)

①のII≡I+I_{Nose} (ℋ_{Nose}) を持つ拡張系の運動方程式が得られれば、これを解くことにより、拡張系のミクロカノニカル集団が得られる。

$$\Sigma_{Nose} = \frac{1}{N!} \int dP'^N \int dR'^N \int dp_s \int ds \delta[\mathcal{H}_{Nose} - E_0] \quad (2)$$

$dP'^N = s^{3N} dP^N$, $dR'^N = dR^N$ に注意して、
 変数を現実系に変更する

$$\Sigma_{Nose} = \frac{1}{N!} \int dP^N \int dR^N \int dp_s \int ds \int ds^{3N} \delta \left[\sum_{i=1}^N \frac{p_i^2}{2m} + U(R^N) + \frac{p_s^2}{2Q} + gk_B T \log s - E_0 \right] \quad (3)$$

[.....] ≡ [f(s)] とおく。

$$\delta[f(s)] = \frac{\delta(s - s_0)}{df/ds |_{s=s_0}} \quad (s_0 \text{ は } f(s)=0 \text{ の根}) \quad (4)$$

f(s₀) = 0 とし、

$$s_0 = \exp \left[-\frac{1}{gk_B T} \left\{ \sum_{i=1}^N \frac{p_i^2}{2m} + U(R^N) + \frac{p_s^2}{2Q} - E_0 \right\} \right] \quad (5)$$

$$\left. \frac{df}{ds} \right|_{s=s_0} = \frac{gk_B T}{s_0} \quad \delta[f(s)] \quad (6)$$

$$\therefore \Sigma_{Nose} = \frac{1}{N!} \int dP^N \int dR^N \int dp_s \int ds \frac{s^{3N+1}}{gk_B T} \delta(s - s_0)$$

$$= \frac{1}{N!} \int dP^N \int dR^N \int dp_s s_0^{3N+1} / gk_B T$$

$$= \frac{1}{N!} \int dP^N \int dR^N \int dp_s \exp \left[-\frac{3N+1}{gk_B T} \left\{ \sum_{i=1}^N \frac{p_i^2}{2m} + U(R^N) + \frac{p_s^2}{2Q} - E_0 \right\} \right] \quad (7)$$

$$\exp\left(\frac{3N+1}{2k_B T} E_0\right) \text{ 前回 出た } \quad g = 3N+1 \approx L^2.$$

$$\int dp_s \exp\left(-\frac{3N+1}{2k_B T} \frac{p_s^2}{2Q}\right) \text{ を積分すると.}$$

$$\Sigma_{\text{Nose}} = \text{const.} \frac{1}{N!} \int dp^N \int dr^N \exp\left(-\frac{\mathcal{H}_0}{k_B T}\right) \quad (8)$$

カニカル分配関数.

拡張系 (p^N, r^N, p_s, s) のミクロカニカル

\Rightarrow 現実系 (p^N, r^N) のカニカル

$\mathcal{H}_{Nose} (P^N, r^N, P_s, s)$ による運動方程式
(正準方程式) を求める。

$$\frac{dr_i'}{dt'} = \frac{\partial \mathcal{H}_{Nose}}{\partial P_i'} = \frac{P_i'}{m_s^2} \quad (9)$$

$$\frac{dP_i'}{dt'} = - \frac{\partial \mathcal{H}_{Nose}}{\partial r_i'} = - \frac{\partial U}{\partial r_i'} \quad (10)$$

$$\frac{ds}{dt'} = \frac{\partial \mathcal{H}_{Nose}}{\partial P_s} = \frac{P_s}{Q} \quad (11)$$

$$\frac{dP_s}{dt'} = - \frac{\partial \mathcal{H}_{Nose}}{\partial s} = \sum_{i=1}^N \frac{P_i'^2}{m_s^2} - \frac{3Nk_B T}{s} \quad (12)$$

現実系へ変数変換する。($r_i' \rightarrow r_i$, $P_i' \rightarrow P_i$, $t' \rightarrow t$)

$$\frac{dr_i}{dt} = \frac{P_i}{m}$$

$$\frac{dP_i}{dt} = - \frac{\partial U}{\partial r_i} - \zeta P_i$$

$$\frac{d\zeta}{dt} = \frac{1}{Q} \left[\sum_{i=1}^N \frac{P_i^2}{m} - 3Nk_B T \right]$$

現実系全体の運動エネルギー $\times 2$.

$$\frac{ds}{dt} = s \zeta$$

$$\left(\zeta = \frac{P_s}{Q} \right)$$

この運動方程式では.

$$\mathcal{H}_{\text{Nose.}} = \sum_{i=1}^N \frac{p_i^2}{2m} + U(r) + \frac{1}{2} Q S^2 + 3N k_B T \log s$$

が“保存量”である。(\mathcal{H}_0 “はな!!”)

6-5. テータ解析.

6-5-1. 熱力学平均値.

分子動力学シミュレーションのテータ.

$$R^N(t), P^N(t).$$

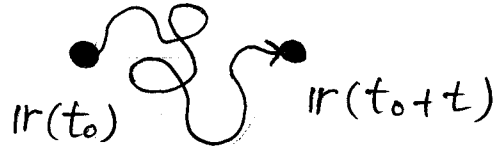
$$(t = t_0 + \delta t j, j = 1, 2, \dots, N_{\text{step}}.)$$

$$\langle A \rangle_t = \frac{1}{N_{\text{step}}} \sum_{j=1}^{N_{\text{step}}} A(R^N(t_0 + \delta t j), P^N(t_0 + \delta t j))$$

$$= \begin{cases} \langle A \rangle_{NVE} & \text{Newton's Eq. motion} \\ \langle A \rangle_{NPH} & \text{Andersen's Eq. motion} \\ \langle A \rangle_{NVT} & \text{Nose Eq. motion} \\ \dots & \text{etc.} \end{cases}$$

6-5-2. 輸送係数.

自己拡散.



~~Prob(r, t) = \langle |r(t_0 + t) - r(t_0)|^2 \rangle~~

平均2乗変位.

$$\begin{aligned} \langle |r(t_0 + t) - r(t_0)|^2 \rangle &\equiv \langle |r(t) - r(0)|^2 \rangle \\ &= \int d\mathbf{r} \, r^2 \text{Prob}(\mathbf{r}, t) \end{aligned}$$

$$\text{Prob}(\mathbf{r}, t) \equiv \left\langle \delta(\mathbf{r} - \mathbf{r}(t_0 + t) + \mathbf{r}(t_0)) \right\rangle$$

時刻 $t=0$ 2" 原点に
あった粒子が、時刻 t
に場所 \mathbf{r} に いる確率.



拡
散係数.

拡散方程式. $\frac{\partial}{\partial t} \text{Prob}(\mathbf{r}, t) = D \nabla^2 \text{Prob}(\mathbf{r}, t)$
に従う.

$$(\text{Prob}(\mathbf{r}, 0) = \delta(\mathbf{r}))$$

$$\text{Prob}(\mathbf{r}, t) = \frac{1}{(4\pi Dt)^{3/2}} \exp\left(-\frac{r^2}{4Dt}\right)$$

$$\therefore \langle |r(t) - r(0)|^2 \rangle = 6Dt$$

Einstein relation
(長時間)

3B6D

$$\begin{aligned}
 \text{Prob}(r, t) &\equiv \langle \rho^{(1)}(r, t) \rho^{(1)}(0, 0) \rangle \\
 &= \langle \int dr' \rho^{(1)}(r'+r, t) \rho^{(1)}(r', 0) \rangle \\
 &= \langle \int dr' \delta[r'+r-r(t_0+t)] \\
 &\quad \times \delta[r'-r(t_0)] \rangle \\
 &= \langle \delta(r-r(t_0+t)+r(t_0)) \rangle \\
 &= \langle \delta(r-r(t)-r(0)) \rangle
 \end{aligned}$$

時刻 $t=0$ の原点にいた粒子
 が時刻 t の座標 r にいる確率

$$\begin{aligned}
 \frac{\partial}{\partial t} \rho^{(1)}(r, t) &= D \nabla^2 \rho^{(1)}(r, t) + \text{Noise}(r, t) \\
 \frac{\partial}{\partial t} \langle \rho^{(1)}(r, t) \rho^{(1)}(0, 0) \rangle &= D \nabla^2 \langle \rho^{(1)}(r, t) \rho^{(1)}(0, t) \rangle
 \end{aligned}$$

| 粒子密度 \rightarrow 拡散

$$\therefore \frac{\partial}{\partial t} \text{Prob}(r, t) = D \nabla^2 \text{Prob}(r, t)$$

Prob(r, t) は拡散方程式に従う。

$$= \int_0^t ds (t-s) \langle \psi(-s) \cdot \psi(0) \rangle + \int_0^t ds (t-s) \langle \psi(s) \cdot \psi(0) \rangle$$

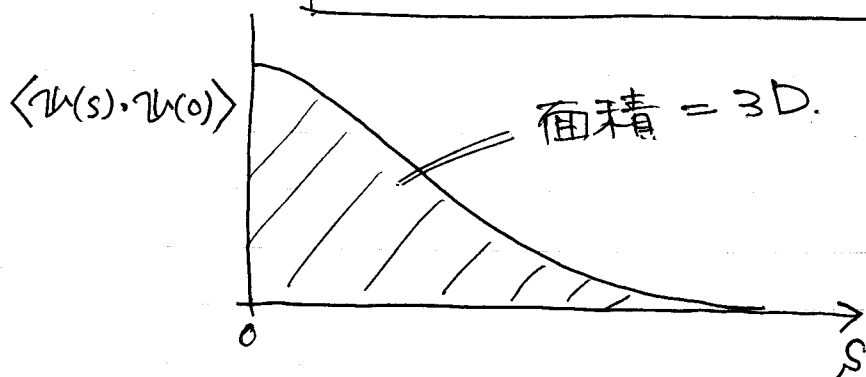
$$= 2 \int_0^t ds (t-s) \langle \dots \rangle$$

$$= 2t \int_0^t ds \left(1 - \frac{s}{t}\right) \langle \dots \rangle$$

$t \rightarrow \infty$ のときは.

$$\langle |r(t) - r(0)|^2 \rangle = 6Dt = 2t \int_0^\infty ds \langle \psi(s) \cdot \psi(0) \rangle$$

$$\therefore D = \frac{1}{3} \int_0^\infty ds \langle \psi(s) \cdot \psi(0) \rangle$$



久保公式の一例.

久保公式の一般形.

$$K = \int_0^\infty dt \langle \dot{Q}(t) \dot{Q}(0) \rangle$$

K : 輸送係数. \dot{Q} : 物理量 Q の流れ.